

## 1,25(OH)<sub>2</sub>-23ene-D<sub>3</sub> : *in vitro*에서 U937 세포의 증식과 분화 및 *in vivo*에서 쥐의 칼슘대사에 미치는 영향

정수자<sup>1</sup> · 서명자<sup>\*</sup>

부산여자전문대학 식품영양과

\*부산대학교 식품영양학과

## 1,25(OH)<sub>2</sub>-23ene-D<sub>3</sub> : Effects on Proliferation and Differentiation of U937 Cells *in vitro* and on Calcium Metabolism of Rat *in vivo*

Soo-Ja Jung<sup>1</sup> and Myung-Ja Suh<sup>\*</sup>

Dept. of Food and Nutrition, Pusan Women's Junior College, Pusan 614-734, Korea

\*Dept. of Food and Nutrition, Pusan National University, Pusan 609-735, Korea

### Abstract

1,25(OH)<sub>2</sub>-23ene-D<sub>3</sub> is a novel vitamin D<sub>3</sub> analog which has a double bond between C-23 and C-24. We describe the effects of this analog on cell differentiation and cell proliferation *in vitro* using the human histiocytic lymphoma cell line U937, and on calcium metabolism in rats *in vivo*. In the present investigation 1,25(OH)<sub>2</sub>-23ene-D<sub>3</sub> was compared to the natural metabolite of vitamin D<sub>3</sub>, 1 $\alpha$ , 25-dihydroxycholecalciferol [1,25(OH)<sub>2</sub>D<sub>3</sub>]. 1,25(OH)<sub>2</sub>-23ene-D<sub>3</sub> was more potent than 1,25(OH)<sub>2</sub>D<sub>3</sub> for inhibition of proliferation and induction of differentiation of U937 cells. Especially, its effect on induction of differentiation, as measured by superoxide production and nonspecific esterase (NSE) activity, was about 20-fold more potent than 1,25(OH)<sub>2</sub>D<sub>3</sub>. This analog morphologically and functionally differentiated U937 cells to monocyte-macrophage phenotype showing a decrease of N/C ratio in Giemsa staining and the increase of adherence ability to surface. Intraperitoneal administration of 1,25(OH)<sub>2</sub>-23ene-D<sub>3</sub> to rats showed that the compound had at least 50 times less activity than 1,25(OH)<sub>2</sub>D<sub>3</sub> in causing hypercalcemia and hypercalciuria. The strong direct effects of 1,25(OH)<sub>2</sub>-23ene-D<sub>3</sub> on cell proliferation and cell differentiation, coupled with its decreased activity of calcium metabolism make this compound an interesting candidate for clinical studies including patients with leukemia, as well as several skin disorders, such as psoriasis.

**Key words :** 1,25(OH)<sub>2</sub>-23ene-D<sub>3</sub>, U937 leukemia cell differentiation, calcium metabolism

### 서 론

Secosteroid 호르몬인 1 $\alpha$ ,25-dihydroxyvitamin D<sub>3</sub> [1,25(OH)<sub>2</sub>D<sub>3</sub>, calcitriol]는 비타민 D<sub>3</sub>의 활성형으로 모체인 비타민 D<sub>3</sub>로부터 간과 콩팥에서 연속적인 수산화반응에 의해 생성되어지며, 세포내의 수용체와 결합하여 소장에서 칼슘흡수 촉진이나 뼈로부터 칼슘흡수에 의한 제거 등을 통해 칼슘의 향상성(homeostasis) 유지에 중요한 역할을 한다<sup>1)</sup>. 이 호르몬 본래의 작용기관은 소장, 뼈 및 콩팥 등이나 뼈와 무기질 대사에 관

여하는 이들 조직 이외에도 정상세포와 악성조직의 세포질에서 1,25(OH)<sub>2</sub>D<sub>3</sub> 수용체가 확인됨에 따라<sup>2,3)</sup> 지금까지 알려진 이 호르몬의 생물학적 기능 이상으로 세포성장과 분화조절을 포함한 광범위한 생리적 기능을 가진 면역계의 조절물질로 알려지고 있다.

조혈세포의 증식과 분화조절에 대한 1,25(OH)<sub>2</sub>D<sub>3</sub> 영향에 관한 연구로는 유사분열 물질로 활성화된 T임파구에 작용하여 T임파구에서의 interleukin 2 (IL-2)의 생성을 우선 억제시켜 G<sub>1A</sub>에서 G<sub>1B</sub>로의 세포전이를 방해함으로써 T세포의 증식을 억제한다고 한다<sup>4,5)</sup>. 또한 이 호르몬은 lectin으로 활성화된 T임파구에서 생성되어지며 neutrophils, eosinophils 및 macrophages 등

<sup>1</sup>To whom all correspondence should be addressed

의 성숙세포의 세포기능을 증가시키는 GM-CSF (granulocyte macrophage-colony stimulating factor) 생성은 post-transcriptional level에서 저해하기도 하며<sup>10</sup>, B임파구에 직접 작용하거나<sup>11</sup> T helper-cell 활성을 조절함으로써<sup>12</sup> B임파구에서의 항체생성을 억제한다. 이외에 monocyte를 macrophage로 분화시키는 데도 관여하는<sup>13</sup> 등 이 호르몬은 조혈세포의 증식과 분화를 조절하는 다양한 면역기능을 갖는다. 한편 암세포에 대한 이 호르몬의 영향에 관한 연구로는 백혈병 세포분화에 관한 연구가 비교적 많이 진행되었다. *in vitro*의 연구에서 1, 25(OH)<sub>2</sub>D<sub>3</sub>는 HL-60 cells (human promyelocytic leukemia cell line)과 U937 cells (human monoblastic leukemia cell line)의 증식억제 및 monocyte/macrophage 등 종형(phenotype)으로의 분화촉진 효과가 있음이 확인되었고<sup>10-12</sup>, 쥐에 풀수성 백혈병 세포를 접종시킨 뒤 1, 25(OH)<sub>2</sub>D<sub>3</sub>를 투여한 결과 쥐의 생명기간이 연장되었다는 *in vivo*에서의 연구보고도 있다<sup>13</sup>. 또한 대장암, 폐암 및 유방암에 대한 이 호르몬의 효과에 관한 연구도 다양하다. 대장암세포<sup>14</sup>와 폐암세포<sup>15</sup>로 접종된 쥐의 암세포 성장을 저해하기도 하며 일부 유방암 환자의 피부 전이성 유방암의 크기를 50% 까지 감소시킨 보고도 있다<sup>16</sup>.

이와 같은 조혈세포의 면역조절 기능과 항악성 효과에 관한 비타민 D<sub>3</sub> 유도체의 연구결과는 다양하나, 현재로는 이들 화합물을 악성질환 치료제로서 임상에 직접 사용가능성은 회박하다. 불행하게도 *in vitro* 연구에서 얻는 효과에 상당하는 농도의 1,25(OH)<sub>2</sub>D<sub>3</sub>와 이의 유도체를 preleukemia 환자에게 구강투여한 결과 항악성 효과는 상당하였으나 환자가 hypercalcemia를 유발하여 지속적인 투여는 불가능하였다<sup>17,18</sup>. 또한 전선질환 (psoriasis)자에게도 이들 화합물을 투여한 결과 전선피부의 일부가 정상세포로 분화되긴 하였으나 hypercalcemia를 유발시켜 역시 지속적인 투여는 불가능하였다<sup>19</sup>. 따라서 이러한 임상적 이용 한계성을 극복하기 위하여 지금은 비타민 D<sub>3</sub> 화합물과 관련되어 나타나는 hypercalcemia, hypercalciuria 및 bone resorption과 같은 부작용이 낮으면서 항악성 효과의 특이성이 큰 새로운 비타민 D<sub>3</sub> 유도체의 개발에 많은 관심이 집중되고 있다<sup>20-22</sup>.

본 연구는 이러한 목적으로 개발한 몇 가지 종류의 새로운 비타민 D<sub>3</sub> 유도체의 항악성 효과를 검토하기 위하여 *in vitro*에서 U937 세포 (human histiocytic lymphoma cell line)에 대한 이들 화합물의 증식억제 효과를 먼저 검토한 다음, 대조군으로 이용된 1,25(OH)<sub>2</sub>D<sub>3</sub>에 비

해 증식억제 효과가 훨씬 크게 나타난 1,25(OH)<sub>2</sub>-23-ene-D<sub>3</sub>의 U937 세포에 대한 분화촉진 효과 및 쥐에 복강투여 후 *in vivo*에서 칼슘대사에 미치는 영향을 검토하였으며 모든 실험에서 대조군인 1,25(OH)<sub>2</sub>D<sub>3</sub>와 비교검토되었다.

## 재료 및 방법

### 세포배양

U937 세포를 ATCC(Rockville, MD)에서 구입하여 10% fetal calf serum (FCS), 1% penicillin/streptomycin이 포함된 RPMI 1640 배지 (Gibco, Co.)에서 부유 배양하였으며, 37°C, 5% CO<sub>2</sub> 조건을 유지하였다. 건강한 성인의 골수로부터 Ficoll-Hypaque gradients를 이용한 원심분리에 의해 mononuclear cells을 분리한 후 1 × phosphate buffered saline (PBS)에 2번 씻은 다음 10% FCS가 포함된 RPMI 1640 배지에 부유시켜 colony 실험에 사용하였다.

### 비타민 D<sub>3</sub> 화합물

본 실험에 사용한 5가지의 비타민 D<sub>3</sub> 화합물은 Fig. 1과 같다. 모든 화합물은 10<sup>-9</sup>M 농도로 무수에탄올에 녹여서 -20°C에 보관한 후 실험시작 직전에 FCS가 함유되지 않은 RPMI 1640 배지에 희석시켜 사용하였다. 배양액에 함유된 에탄올의 농도는 0.1%가 넘지 않았으며 이 농도는 세포의 성장과 분화에 영향을 주지 않았다. 사용한 화합물 중 1,24(OH)<sub>2</sub>-22ene-24-cyclopropyl-D<sub>3</sub>, 1,25(OH)<sub>2</sub>-24-homo-D<sub>3</sub>, 1,25(OH)<sub>2</sub>-24-dihomo-D<sub>3</sub>는 Leo Pharmaceutical (Copenhagen, Denmark)로부터, 기증받아서 사용하였고, 1,25(OH)<sub>2</sub>-23ene-D<sub>3</sub>는 Dr. Uskokovic (Hoffman La Roche Inc., Nutley, NJ) 연구실에서 합성된 것으로 역시 기증받아서 사용하였다.

### 세포성장 관찰

10%의 FCS와 여러 가지 농도의 비타민 D<sub>3</sub> 화합물이 함유된 RPMI 1640 배지에 1 × 10<sup>5</sup> cells/ml의 U937 세포를 넣은 다음 37°C, 5% CO<sub>2</sub> 조건에서 4일간 부유 배양한 후 살아있는 세포수를 trypan blue로 측정하였다. 대조군과 실험군 모두에서 세포 생존율은 90% 이상이었다. 실험결과는 한번 실험에서 3개의 plates에 동시에 세포를 배양하였으며 이를 세번 반복한 결과를 평균하였다.

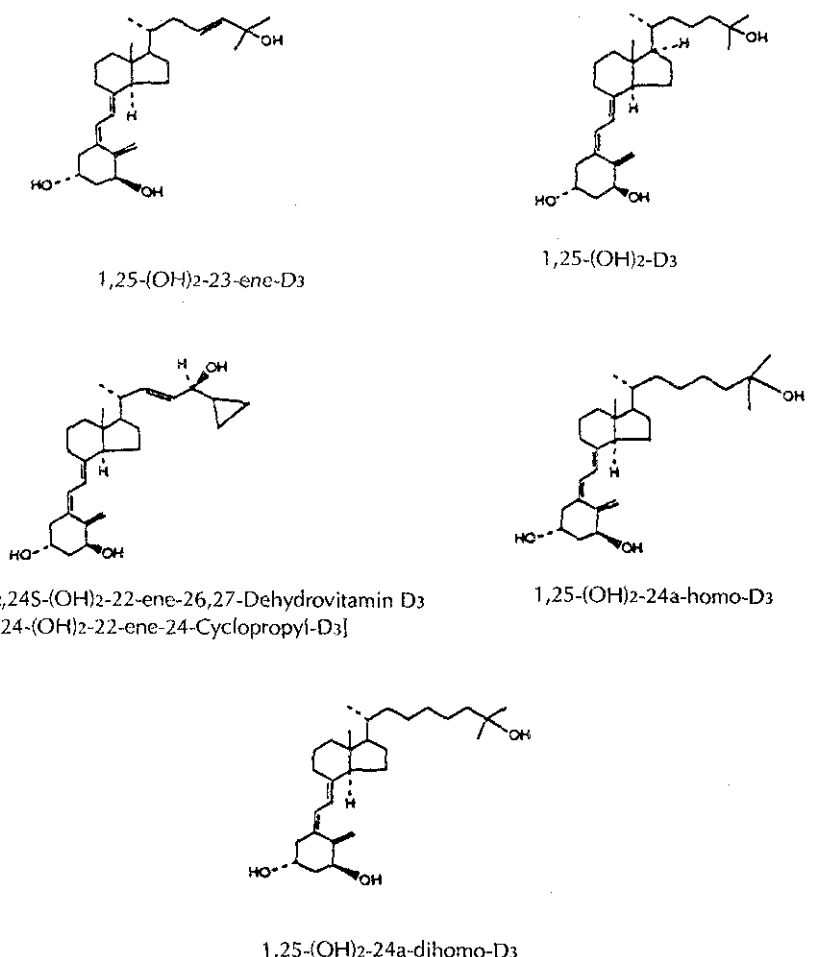


Fig. 1. Structure and chemical name of the novel vitamin D<sub>3</sub> analogs evaluated in this investigation (Throughout this study "ene" refers to a double bond).

#### Soft agar 배지에서 colony 형성 관찰

정상인의 골수에서 분리한 mononuclear cells의 colony 형성 관찰은 underlayer에는 0.5%, upper layer에는 0.3% agar가 함유된 two-layer soft agar 방법<sup>23)</sup>을 이용하여 six-well의 배양접시에서 관찰하였다. 비타민 D<sub>3</sub> 화합물은 underlayer에 세포는 upper layer에 넣어 혼합하였고 세포농도는  $2 \times 10^6$  cells/plate로 조절하였다. 200pM의 recombinant granulocyte macrophage-colony stimulating factor (GM-CSF)를 정상 골수세포의 성장을 위한 CSF원으로 underlayer에 넣어 37°C, 5% CO<sub>2</sub> 조건에서 12일간 배양한 후 세포수가 40개 이상인 colony 수만 역상현미경으로 관찰하였으며 대조군은 CSF만 넣어 배양하였다.

#### 세포분화 관찰

U937 세포분화는 nitroblue tetrazolium (NBT)을 환원시키는 superoxide 생성능,  $\alpha$ -naphthyl acetate esterase [nonspecific esterase (NSE)] 활성 유무의 세포화학적 분석 및 morphology 변화 등으로 관찰하였다. 세포를 10% FCS와 농도를 달리한 비타민 D<sub>3</sub> 화합물 ( $10^{-6}$  M ~  $10^{-7}$  M)이 함유된 RPMI 1640배지에서 37°C, 5% CO<sub>2</sub> 조건으로 5일간 배양한 후 NBT 환원능 검사는 세포배양액 ( $2 \times 10^6$  cells/ml)에 12.5mg/ml NBT, 17mg/ml BSA와 1μg/ml 12-O-tetradecanoyl-phorbol 13-acetate 가 혼합된 용액을 동량 가하여 37°C에서 30분간 반응시킨 후 PBS로 씻고 cytocentrifuge에 의해 만들어진 슬라이드상의 세포를 메탄올에서 고정시킨 후 saffranin

으로 염색한 다음 현미경으로 관찰하였다. 한편 배양한 세포를 PBS로 씻은 후 다시 cytocentrifuge에 의해 슬라이드를 만든 다음 일부는 Wright/Giemsa 염색을 하여 morphology 변화를 관찰하였고 일부는 NSE 활성 확인에 이용하였다. 즉 NSE 활성 확인을 위해서 슬라이드를 citrate-acetone-formaldehyde용액(25:65:8)에 넣어서 상온에서 30초간 세포를 고정시킨 다음 1ml fast blue BB 염기용액, 1ml sodium nitrite용액, 37°C의 40ml 중류수, 5ml trizma용액, pH 7.6, 1ml  $\alpha$ -naphthyl acetate용액에 혼합액에 슬라이드를 넣어 37°C에서 30분간 빛을 차단하여 반응시킨 후 hematoxilin용액에서 2분간 염색하여 관찰하였다.

#### 혈청·소변 중의 칼슘함량 측정

실현동물은 140~150g인 Sprague Dawley계 수컷 흰쥐를 선정하여 대사장에 2마리씩 넣어 각 실험군당 4~6마리로 하여 기본식이로 사육하였다. 실험군에는 PBS로 회석된 0.5% murine albumin에 vitamin D<sub>3</sub> 화합물을 회석시켜 1,25(OH)<sub>2</sub>D<sub>3</sub>는 0.25 $\mu$ g/kg, 1,25(OH)<sub>2</sub>-23ene-D<sub>3</sub>는 0.5, 2.5, 12.5 $\mu$ g/kg씩 매일, 7일 동안 복강주사하였고 대조군에는 0.5% murine albumin만을 복강주사하였다. 식이섭취량은 매일, 체중은 실험기간 동안 3번을 일정한 시간에 측정하였다. 소변은 매일 채취하여 냉동(-40°C) 보관하였고 혈액은 실험기간 종료후 12시간을 끊긴 뒤 diethylether로 마취시킨 뒤 원심분리하여 얻은 혈청을 냉동(-40°C) 보관하여 사용하였다. 혈청과 소변의 총 칼슘 함량은 Sarkar와 Chauhan의 방법에 따라<sup>24)</sup> o-cresolphthalein과 결합하여 생성되는 복합체의 색을 spectrophotometer(Gilfold 2600)를 사용하여 565nm에서 측정하였다. 실험결과는 통계처리하여 실험군당 평균치와 표준편차를 구하였고 t-test로 실험군평균치간의 유의성을 검정하였다.

#### 결과 및 고찰

##### U937 세포성장에 대한 비타민 D<sub>3</sub> 유도체의 저해효과

여러 종류의 malignant cell line<sup>25)</sup>, 정상적인 monocyte와 macrophage<sup>26)</sup>, 활성화된 T임파구<sup>25)</sup> 등에서 1,25(OH)<sub>2</sub>D<sub>3</sub> 수용체의 발견과 더불어서 이를 세포의 증식과 분화에 관련된 연구는 1,25(OH)<sub>2</sub>D<sub>3</sub>가 칼슘과 인의 대사조절 이외에도 다양한 생물학적 기능을 조절하는 데 관여되어 있음이 밝혀졌다. 따라서 1,25(OH)<sub>2</sub>D<sub>3</sub>는 여러 가지 증식성 질병(proliferative disease)의 치료에 강

한 효과가 있을 것으로 생각되었으나, hypercalcemia, hypercalciuria 및 신장, 심장, 정맥 등에 석회침착을 야기시키는 부작용으로 임상연구에서의 이용 연구가 제한되었다.

따라서 지금은 세포의 증식과 분화조절 기능을 가지면서 칼슘대사에 미치는 활성이 낮은 새로운 1,25(OH)<sub>2</sub>D<sub>3</sub> 유도체의 개발에 관심이 집중되고 있다. 본 연구는 이러한 목적으로 개발한 새로운 1,25(OH)<sub>2</sub>D<sub>3</sub> 유도체인 1,25(OH)<sub>2</sub>-23ene-D<sub>3</sub>를 이용하여 조혈세포의 분화에 대한 1,25(OH)<sub>2</sub>D<sub>3</sub> 효과를 연구하는 데 모델로서 많이 이용된 U937 세포(human monoblastic leukemia cell line)의 증식억제와 분화촉진 효과 및 주의 칼슘대사에 미치는 영향을 1,25(OH)<sub>2</sub>D<sub>3</sub>와 비교 검토하였다.

U937 세포에 대한 5가지 비타민 D<sub>3</sub> 유도체의 성장저해 효과에 대한 실험결과는 Fig. 2와 같다. 사용된 5가지 비타민 D<sub>3</sub> 유도체 중에서 23번 탄소와 24번 탄소 사이에 2중결합을 가진 1,25(OH)<sub>2</sub>-23ene-D<sub>3</sub>는 실험 전 농도구간( $10^{-11}$ M~ $10^{-7}$ M)에서 control culture(배양액에 비타민 D<sub>3</sub> 화합물을 넣지 않은 경우)에 비해 상당한 저해효과를 나타내고 있으며, 특히  $10^{-9}$ M과  $10^{-7}$ M의 농도에서 control culture에 비해 각각 80%, 95%의 성장저해효과를 나타내고 있다. 또한 대조군인 1,25(OH)<sub>2</sub>D<sub>3</sub>도 전 농도구간( $10^{-11}$ M~ $10^{-7}$ M)에서 저해효과를 보여주고 있으며, 이는 1,25(OH)<sub>2</sub>D<sub>3</sub>가 U937 세포성장에 저해효과가 있음을 밝힌 Olsson 등<sup>12)</sup>의 연구결과와 일

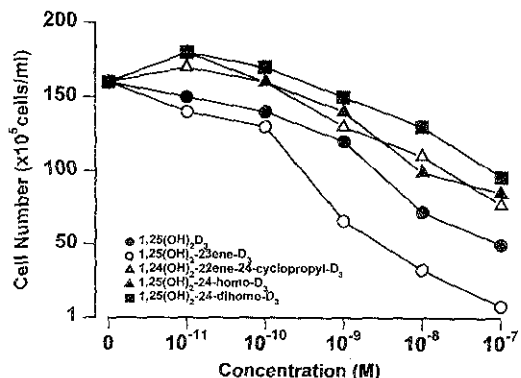


Fig. 2. Dose-response of vitamin D<sub>3</sub> analogs on cellular proliferation of U937 cells.

U937 cells were seeded at  $1 \times 10^5$  cells/ml and incubated for 4 days with various concentration( $10^{-11}$ M~ $10^{-7}$ M) of vitamin D<sub>3</sub> analogs. Each point represents the mean of three experiments with triplicate dishes; 1,25(OH)<sub>2</sub>D<sub>3</sub> (●); 1,25(OH)<sub>2</sub>-23ene-D<sub>3</sub> (○); 1,24(OH)-22ene-24-cyclopropyl-D<sub>3</sub> (△); 1,25(OH)<sub>2</sub>-24a-homo-D<sub>3</sub> (▲); 1,25(OH)<sub>2</sub>-24a-dihomo-D<sub>3</sub> (■). Control culture contained  $1.6 \times 10^5 \pm 3.6 \times 10^4$  ( $\pm$  SD) cells/ml.

**Table 1. Effect of 1,25(OH)<sub>2</sub>D<sub>3</sub> and 1,25(OH)<sub>2</sub>-23ene-D<sub>3</sub> on cellular proliferation and differentiation of U937 cells**

Analogs	Inhibition of cellular proliferation		NBT ED <sub>50</sub> ( $\times 10^{-9}$ mol/L)	NSE
	ED <sub>50</sub> ( $\times 10^{-9}$ mol/L)	NSE		
1,25(OH) <sub>2</sub> D <sub>3</sub>	6.3		25	12
1,25(OH) <sub>2</sub> -23ene-D <sub>3</sub>	0.5		0.53	0.6

ED<sub>50</sub> represents effective dose achieving 50% response (ED<sub>50</sub>) calculated from dose-response curve shown on Figs. 2 and 4; NBT, nitroblue tetrazolium ; NSE, nonspecific esterase.

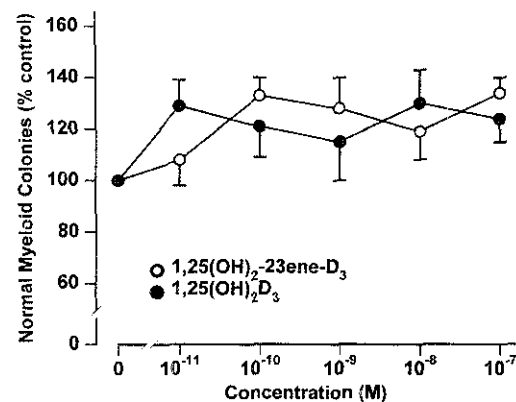
치한다. 1,25(OH)<sub>2</sub>-23ene-D<sub>3</sub>는 50%의 저해효과를 얻는 데에 필요한 농도(ED<sub>50</sub>)가  $6.3 \times 10^{-9}$ M이며 (Table 1), 이는 1,25(OH)<sub>2</sub>D<sub>3</sub>의  $0.5 \times 10^{-9}$ M에 비해 12배 이상의 저해효과가 있음을 나타낸다. 반면에 22번 탄소와 23번 탄소 사이에 이중 결합이 있고 side-chain에 cyclopropyl기를 가지면서 25번 위치의 수산기가 24번 위치로 바뀐 1,24(OH)<sub>2</sub>-22ene-24-cyclopropyl-D<sub>3</sub>와 side-chain에 탄소가 1개 추가된 1,25(OH)<sub>2</sub>-24-homo-D<sub>3</sub> 및 역시 side-chain에 탄소가 2개 추가된 1,25(OH)<sub>2</sub>-24-dihomo-D<sub>3</sub>는 1,25(OH)<sub>2</sub>D<sub>3</sub>에 비해 U937 세포성장 저해활성이 낮음을 보여주고 있다. 따라서 다음 단계의 실험에서는 U937 세포성장에 대한 저해효과가 큰 1,25(OH)<sub>2</sub>-23ene-D<sub>3</sub>만을 이용하여 대조군인 1,25(OH)<sub>2</sub>D<sub>3</sub>와 비교검토하였다.

#### 정상 myeloid colony-forming cells의 clonal 성장에 대한 1,25(OH)<sub>2</sub>-23ene-D<sub>3</sub> 영향

비타민 D<sub>3</sub> 화합물을 임상에 직접 이용하기 위해서는 정상 골수성 간세포(normal myeloid stem cell) 성장에 대한 이들 화합물의 영향을 먼저 검토해야 한다. 정상 전구세포에 유해한 화합물은 임상에 이용할 수 없기 때문이다. 따라서 본 실험에서는 granulocyte macrophage-colony stimulating factor(GM-CSF)의 존재 하에서 granulocyte macrophage-colony forming cell(GM-CFC)로 자라는 것으로 알려진 사람의 골수성 간세포의 clonal growth에 대한 1,25(OH)<sub>2</sub>-23ene-D<sub>3</sub>의 영향을 soft agar 배지에서 관찰하였다 (Fig. 3). 1,25(OH)<sub>2</sub>-23ene-D<sub>3</sub>와 1,25(OH)<sub>2</sub>D<sub>3</sub>는 정상인의 골수 중의 GM-CFC의 clonal growth를 저해하지 않았으며 오히려 control culture(배양액에 비타민 D<sub>3</sub> 화합물을 넣지 않은 경우)에 비해 GM-CFC의 clonal growth를 약간 증가시켰다.

#### 세포분화에 대한 1,25(OH)<sub>2</sub>-23ene-D<sub>3</sub> 영향

사람의 골수성 간세포(human myeloid stem cell)가 macrophage로 분화할 때와 마찬가지로 U937 세포가



**Fig. 3. Effect of 1,25(OH)<sub>2</sub>D<sub>3</sub> and 1,25(OH)<sub>2</sub>-23ene-D<sub>3</sub> on clonal proliferation of normal human myeloid colony-forming cells.**

Each point represents the mean of two experiments with triplicate dishes. Results are expressed as percentage of control cells not exposed to vitamin D<sub>3</sub> analog, 1,25(OH)<sub>2</sub>D<sub>3</sub> (●); 1,25(OH)<sub>2</sub>-23ene-D<sub>3</sub> (○). All cultures were grown in the presence of maximally stimulating concentration of recombinant GM-CSF (200pm/L). Control culture contained a mean 163±22 (±SD) colonies.

monocyte/macrophage로 분화할 때도 세포형태 변화와 함께 non-specific esterase(NSE) 발현 및 nitroblue tetrazolium(NBT)를 환원시키는 superoxide를 생성하게 된다. 본 연구에서는 U937 세포 분화에 대한 1,25(OH)<sub>2</sub>-23ene-D<sub>3</sub>의 영향을 검토하기 위해 세포형태 변화 확인, NSE 활성 및 NBT 환원능 검사를 하였으며 그 결과는 Fig. 4A, Fig. 4B 및 Table 1과 같다. 1,25(OH)<sub>2</sub>-23ene-D<sub>3</sub>는 전 실험 농도구간( $10^{-11}$ M~ $10^{-7}$ M)에서 control culture(배양액에 비타민 D<sub>3</sub> 화합물을 넣지 않은 경우)에 비해 상당한 분화효과가 있음을 보여주며,  $10^{-6}$ M에서는 70% 이상  $10^{-7}$ M에서는 90% 이상의 분화효과를 나타내고 있다. 1,25(OH)<sub>2</sub>D<sub>3</sub>도 전 농도구간( $10^{-11}$ M~ $10^{-7}$ M)에서 농도에 따른 분화효과를 나타내며, 이는 U937 세포가 1,25(OH)<sub>2</sub>D<sub>3</sub>에 의해 mono-cyte/macrophage와 유사한 세포로 분화한다는 Olsson 등<sup>[12]</sup>의 연구와 일치한다. 또한 두 화합물의 분화효과를 비교하

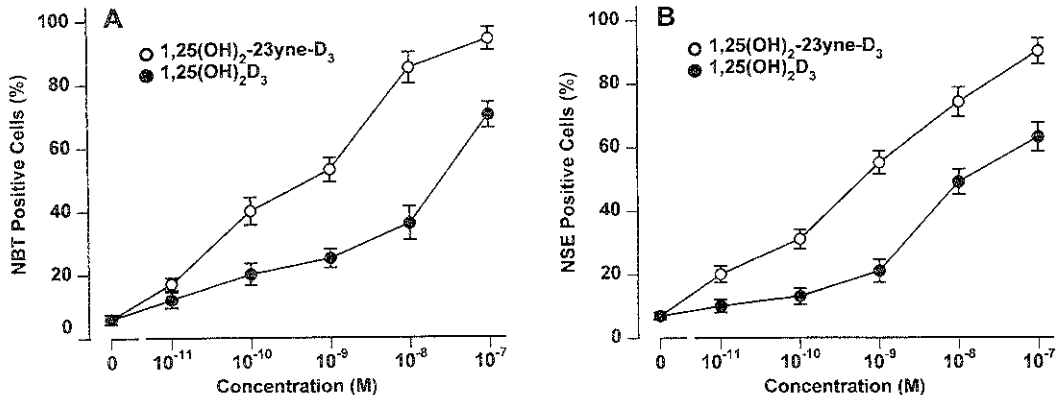


Fig. 4. Dose-response of  $1,25(\text{OH})_2\text{D}_3$  and  $1,25(\text{OH})_2\text{-23ene-D}_3$  on differentiation of U937 cells.

U937 cells ( $10^5$  cells/ml) in RPMI 1640 with 10% FCS were incubated for 5 days in the presence of vitamin D<sub>3</sub> analog. At the end of culture, cells were stained for ability of NBT reduction (A) and NSE activity (B). Results are expressed as a percentage of U937 cells differentiated by  $1,25(\text{OH})_2\text{D}_3$  (●) and  $1,25(\text{OH})_2\text{-23ene-D}_3$  (○). Each point represents the mean of three experiments. Control cells had less than 5% of NBT and NSE-positive cells.

면 50%의 분화효과를 얻는 데에 필요한 농도 ( $\text{ED}_{50}$ )가  $1,25(\text{OH})_2\text{-23ene-D}_3$ 는 NBT 환원능 검사와 NSE 활성 검사에서 각각  $25 \times 10^{-9}\text{M}$ ,  $12 \times 10^{-9}\text{M}$ 로 나타났으며  $1,25(\text{OH})_2\text{D}_3$ 는 각각  $0.53 \times 10^{-8}\text{M}$ ,  $0.6 \times 10^{-8}\text{M}$ 로서  $1,25(\text{OH})_2\text{-23ene-D}_3$ 는  $1,25(\text{OH})_2\text{D}_3$ 에 비해 20배 이상의 U937 세포분화 효과가 있음을 알 수 있다 (Table 1). 한편 분화에 따른 세포형태 변화는 Fig. 5와 같다. 배양 5일 후 cytopsin한 세포의 Giemsa 염색결과는 세포 원형 질막의 ruffling 현상이 나타나며 N/C比 (nuclear-cytoplasmic ratio)가 감소하면서 비분화세포에 비해 세포의 크기가 커진 것을 알 수 있다 (Fig. 5). 분화에 따른 세포형태의 변화와 더불어서 배양 말기에는 위족 (pseudopodia)를 만들어서 배양접시에 부착하는 현상을 나타내기도 하였으며, 농도에 따라 부착세포수가 점차 많아지는 것을 확인할 수 있었다 (결과는 나타내지 않았음). 분화에 따른 이러한 세포형태 변화는  $1,25(\text{OH})_2\text{D}_3$  보다는  $1,25(\text{OH})_2\text{-23ene-D}_3$ 를 첨가한 배양액의 세포에서 더욱 뚜렷하게 나타나고 있으며, 따라서 이러한 결과로 미루어 보아서  $1,25(\text{OH})_2\text{-23ene-D}_3$ 는 U937 세포를 monocyte/macrophage로 분화시킴을 알 수 있다.

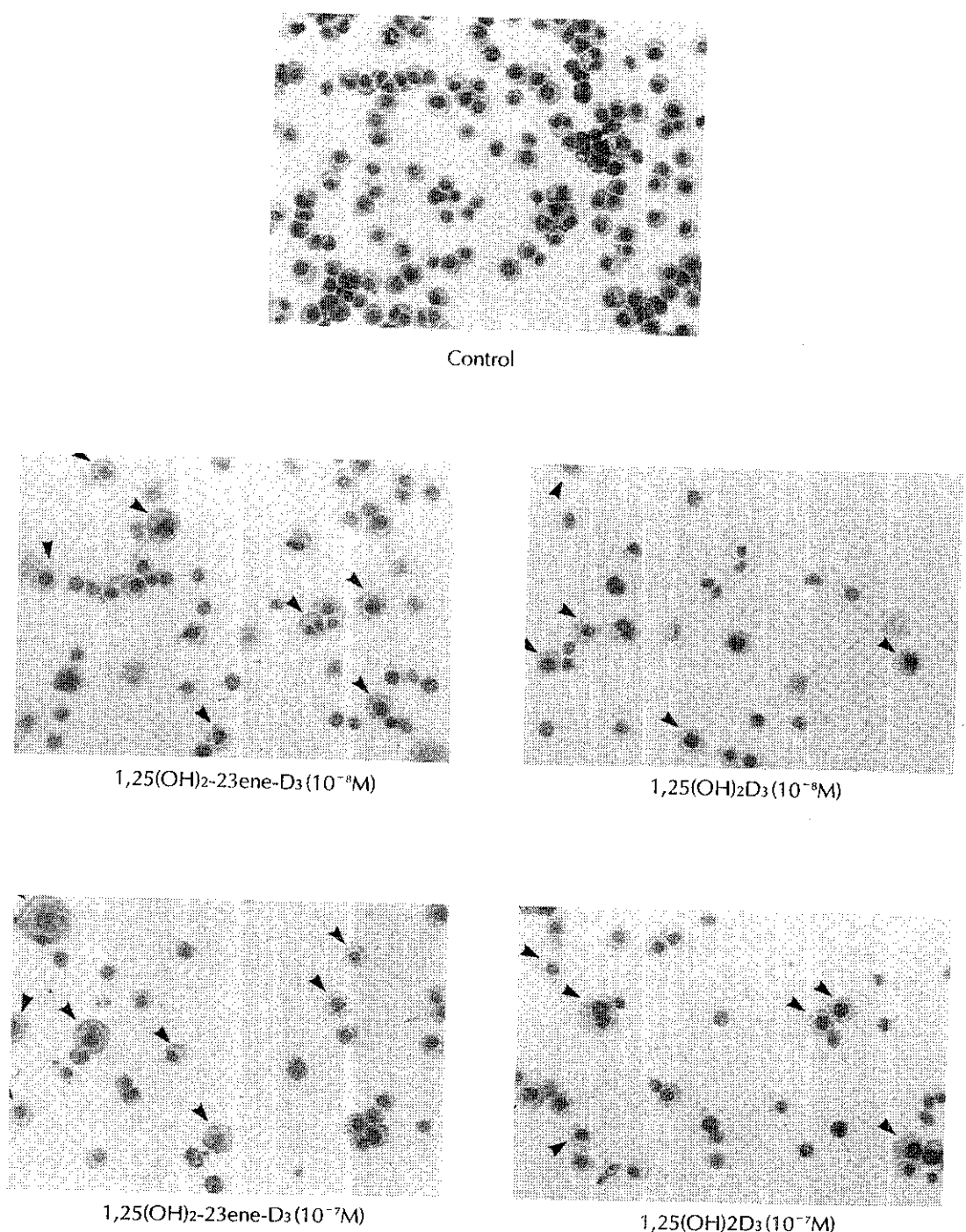
#### 칼슘대사에 미치는 영향

칼슘대사에 미치는  $1,25(\text{OH})_2\text{-23ene-D}_3$ 의 영향을 *in vivo*에서 쥐를 이용하여 검토하였다 (Table 2).  $1,25(\text{OH})_2\text{-23ene-D}_3$ 는  $0.5\mu\text{g/kg/day}$ ,  $2.5\mu\text{g/kg/day}$ ,  $12.5\mu\text{g/kg/day}$ 씩  $1,25(\text{OH})_2\text{D}_3$ 는  $0.25\mu\text{g/kg/day}$ 씩 7일 동안 복강 투여하였으며 소변 중의 칼슘배설량은 매일 측정

하였고 혈청 칼슘농도는 실험 마지막에 측정하였다.  $1,25(\text{OH})_2\text{D}_3$  투여량 ( $0.25\mu\text{g/kg/day}$ )은 투여한 후 2~3일 뒤에 나타나는 hypercalcemia, hypercalciuria에 연결될 수 있는 최대량이다. Table 2에서 보는 바와 같이  $1,25(\text{OH})_2\text{D}_3$   $0.25\mu\text{g/kg/day}$  투여군은 비투여군에 비해 소변 중 칼슘배설량이 6배 이상 증가한 반면에  $1,25(\text{OH})_2\text{-23ene-D}_3$   $0.5\mu\text{g/kg/day}$ ,  $2.5\mu\text{g/kg/day}$  투여군은 소변 중 칼슘배설량에 거의 영향을 끼치지 않음을 알 수 있으며,  $12.5\mu\text{g/kg/day}$  투여군에서는 배설량이 증가하였으나  $1,25(\text{OH})_2\text{D}_3$   $0.25\mu\text{g/kg/day}$  투여군의 배설량에는 활선 미치지 못하였다. 비슷한 유형의 결과가 혈청 칼슘농도에서도 나타나고 있다.  $1,25(\text{OH})_2\text{D}_3$   $0.25\mu\text{g/kg/day}$  투여군은 혈청 칼슘농도가 비투여군에 비해 33% 증가한 반면에  $1,25(\text{OH})_2\text{-23ene-D}_3$   $0.5\mu\text{g/kg/day}$ ,  $2.5\mu\text{g/kg/day}$  투여군은 영향을 끼치지 않고 있으나,  $12.5\mu\text{g/kg/day}$  투여군에서만 14%의 혈청 칼슘농도 증가를 보이고 있다. 2가지 화합물을 투여한 후에도 식이섭취량이나 체중증가량에는 변화가 없었다 (결과는 나타내지 않았음).

이와 같은 결과로 미루어 보아서 소변 중 증가한 칼슘배설량이나 혈청 중 증가한 칼슘농도로 측정한 칼슘 대사에 미치는  $1,25(\text{OH})_2\text{-23ene-D}_3$  영향은  $1,25(\text{OH})_2\text{D}_3$ 에 비해 50배 이상 활성이 낮음을 알 수 있다.

$1,25(\text{OH})_2\text{-23ene-D}_3$ 가  $1,25(\text{OH})_2\text{D}_3$ 에 비해 U937 세포 종식억제와 분화촉진에 대한 효과는 활선 크면서 칼슘대사에 미치는 영향이 낮은 이유를 밝히기 위해 현재 몇 가지의 연구가 진행 중이다. 첫째, U937 세포와 소장상피 세포내의  $1,25(\text{OH})_2\text{D}_3$  수용체에 대한  $1,25$



**Fig. 5. Morphologic change of the U937 cells induced by 1,25(OH)<sub>2</sub>D<sub>3</sub> and 1,25(OH)<sub>2</sub>-23ene-D<sub>3</sub>.**  
Cells (10<sup>5</sup>cells/ml) in RPMI 1640 with 10% FCS were incubated for 5days in the presence of 1,25(OH)<sub>2</sub>D<sub>3</sub> and 1,25(OH)<sub>2</sub>-23ene-D<sub>3</sub>. Cells were washed in PBS, cyt centrifuged and fixed in methanol and stained with Giemsa for 10min. The smooth and small form of undifferentiated cells were transformed to the ruffled large form(indicated by arrow), and showed decreased N/C ratio in Giemsa staining ( $\times 200$ ).

**Table 2. Calcium level in urine and serum after I.P. administration of 1,25(OH)<sub>2</sub>D<sub>3</sub> and 1,25(OH)<sub>2</sub>-23ene-D<sub>3</sub>**

Treatment of rats	Dose μg/kg/day i.p. 7 ×	Calcium in urine μmol/day Mean±SD	P-value	Calcium in serum mmol/l Mean±SD	P-value
Control	—	36.3±7.5		4.94±0.42	
1, 25(OH) <sub>2</sub> D <sub>3</sub>	0.25	218.3±75.7	<0.001	6.56±0.59	<0.005
1, 25(OH) <sub>2</sub> -23ene-D <sub>3</sub>	0.5	33.2±9.7	NS	5.04±0.34	NS
1, 25(OH) <sub>2</sub> -23ene-D <sub>3</sub>	2.5	39.7±10.8	NS	5.14±0.53	NS
1, 25(OH) <sub>2</sub> -23ene-D <sub>3</sub>	12.5	150.3±38.5	<0.001	5.65±0.51	<0.05

Rats were treated with 1, 25(OH)<sub>2</sub>D<sub>3</sub>(0.25μg/kg/day) and 1,25(OH)<sub>2</sub>-23ene-D<sub>3</sub>(0.5, 2.5, 12.5μg/kg/day) intraperitoneally for 7days. Urine was collected daily and serum was obtained at the end of the experiment for the determination of calcium. Calcium concentrations were expressed as μmol/day in urine (N=10-14) or as mmol/L in serum (N=4-6). All treated groups were compared to the group of untreated control rats. NS=not significant.

(OH)<sub>2</sub>-23ene-D<sub>3</sub>의 결합력을 1,25(OH)<sub>2</sub>D<sub>3</sub>와 비교하는 것이다. 체내에서 칼슘의 동적 평형은 주로 소장에서 칼슘흡수를 통해 이루어지며, 이때 1,25(OH)<sub>2</sub>D<sub>3</sub>가 세포내의 수용체와 결합하여 칼슘흡수를 조절하게 된다<sup>26)</sup>. 수용체에 대한 상대적인 친화력을 밝히는 이 연구에서 1,25(OH)<sub>2</sub>-23ene-D<sub>3</sub>의 친화력이 크게 나타나길 기대하는 바이다. 둘째, 혈장내의 비타민 D 결합단백질(vitamin D binding protein, DBP)에 대한 결합력을 1,25(OH)<sub>2</sub>D<sub>3</sub>와 비교하는 것이다. 혈액내에서 비타민 D 윤반은 DBP에 의해 이루어지며<sup>27)</sup>, 이 단백질의 역할은 불안정한 비타민 D 대사물의 보호, 용해성이 낮은 물질의 운반과 조직으로 수송 등이다.

현재 진행 중인 이러한 연구결과는 백혈병, 전선 등의 질병과 류마티스성 관절염과 같은 자가면역 질환의 치료에 부분적인 치료제로서의 사용가능성을 결정하게 될 것이며, 또한 비타민 D<sub>3</sub> 화합물의 작용기전을 이해하는 데도 도움이 되리라 생각한다. 한편 hypercalcemia를 유발하지 않으면서 항악성 효과의 특이성이 큰 새로운 비타민 D<sub>3</sub> 유도체의 개발을 위한 지속적인 노력이 필요하다고 생각된다.

## 요 약

1,25(OH)<sub>2</sub>-23ene-D<sub>3</sub>는 23번과 24번 탄소 사이에 이중결합을 가진 새로운 비타민 D<sub>3</sub> 유도체로서 이 화합물의 항악성 효과를 검토하기 위하여 *in vitro*에서 U937 세포(human histiocytic lymphoma cell line)의 증식과 분화에 대한 효과 및 *in vivo*에서 쥐의 칼슘대사에 미치는 영향을 관찰하였다. 본 연구에서 1,25(OH)<sub>2</sub>-23ene-D<sub>3</sub>의 효과는 비타민 D<sub>3</sub>의 자연 대사물인 1α, 25-dihydroxycholecalciferol [1,25(OH)<sub>2</sub>D<sub>3</sub>]과 비교 검토하였다. 1,25(OH)<sub>2</sub>-23ene-D<sub>3</sub>는 1,25(OH)<sub>2</sub>D<sub>3</sub>에 비해 U937 세

포 증식억제 및 분화촉진에 강한 효과가 있음이 확인되었고, 특히 superoxide 생성과 nonspecific esterase (NSE) 활성으로 측정한 세포의 분화촉진 효과는 1,25(OH)<sub>2</sub>D<sub>3</sub>에 비해 20배 이상 높은 것으로 나타났다. 또한 1,25(OH)<sub>2</sub>-23ene-D<sub>3</sub>로 처리된 U937 세포는 N/C 비 감소, 배양말기에 부착세포수 증가 등의 현상을 나타내면서 분화에 따른 세포형태 변화를 더욱 뚜렷히 보였다. 쥐에 이를 비타민 D<sub>3</sub> 유도체를 투여한 결과 1, 25(OH)<sub>2</sub>-23ene-D<sub>3</sub>는 hypercalcemia와 hypercalciuria를 야기시키는 활성이 1,25(OH)<sub>2</sub>D<sub>3</sub>에 비해 50배 이상 낮음이 확인되었다. 1,25(OH)<sub>2</sub>-23ene-D<sub>3</sub>가 칼슘대사에 미치는 활성이 낮으면서 U937 세포의 증식과 분화에 직접적인 강한 효과를 가지고 있음이 밝혀짐에 따라 앞으로 백혈병 환자나 전선(psoriasis)등의 피부성 질환을 가진 환자의 임상연구에 이용이 가능한 화합물이라 생각된다.

## 감사의 글

이 논문은 1993년도 한국학술진흥재단의 공보과제 연구비에 의하여 수행되었음.

## 문 헌

1. Norman, A. W., Roth, J. and Orch, L. : The vitamin endocrine system : steroid metabolism, hormone receptors, and biological response. *Endocrine Rev.*, **3**, 331 (1982)
2. Frampton, R. J., Suva, L. J., Eisman, J. A., Findlay, D. M., Moore, G. E., Moseley, J. M. and Martin, T. J. : Presence of 1,25-dihydroxyvitamin D<sub>3</sub> receptors in established human cancer cell lines in culture. *Cancer Res.*, **42**, 1116 (1982)
3. Provvedini, D. M., Manolagas, S. C. and Deftos, L. J. : 1,25-dihydroxyvitamin D<sub>3</sub> receptors in human

- leukocyte. *Science*, **221**, 1181 (1983)
4. Tsoukas, C. D., Provvedini, D. M. and Manolagas, S. C. : 1,25-dihydroxyvitamin D<sub>3</sub> : a novel immunoregulatory hormone. *Science*, **224**, 1438 (1984)
  5. Rigby, W. F. C., Noelle, R. J., Kraus, K. and Fanger, M. W. : The effects of 1,25-dihydroxyvitamin D<sub>3</sub> on human T lymphocytes activation : a cell cycle analysis. *J. Immunol.*, **135**, 2279 (1985)
  6. Tobler, A., Miller, C. W., Norman, A. W. and Koeffler, H. P. : 1,25-dihydroxyvitamin D<sub>3</sub> modulate the expression of a lymphokine posttranscriptionally. *J. Clin. Invest.*, **81**, 1819 (1988)
  7. Ito, S., Takahashi, T., Kura, F., Sugiyama, H. and Hoshino, T. : The effect of 1,25-dihydroxyvitamin D<sub>3</sub> on *in vitro* immunoglobulin production in human B cells. *J. Immunol.*, **236**, 4427 (1986)
  8. Lemire, J. M., Adams, J. S., Kermani-Arab, V., Bakke, A. C., Sakai, R. and Jordan, S. C. : 1,25-dihydroxyvitamin D<sub>3</sub> suppresses human T helper/inducer lymphocyte activity *in vitro*. *J. Immunol.*, **134**, 3032 (1985)
  9. Provvedini, D. M., Delfos, L. T. and Manolagas, S. C. : 1,25-dihydroxyvitamin D<sub>3</sub> promotes *in vitro* morphological and enzymatic changes in normal human monocytes consistent with their differentiation into macrophage. *Bone*, **7**, 23 (1986)
  10. Mangelsdorf, D. J., Koeffler, H. P., Donaldson, C. A., Pike, J. W. and Haussler, M. R. : 1,25-dihydroxyvitamin D<sub>3</sub> induced differentiation in a human promyelocytic leukemia cell line (HL-60) : receptor-mediated maturation to macrophage-like cells. *J. Cell Biol.*, **98**, 391 (1984)
  11. Tanaka, H., Abe, E., Miyaura, C., Kurabayashi, T., Konno, K., Nishii, Y. and Suda, T. : Alpha,25-dihydroxycholecalciferol and a human myeloid leukemia cell line (HL-60). The presence of a cytosol receptor and induction of differentiation. *Biochem. J.*, **204**, 713 (1984)
  12. Olsson, I., Gullberg, U., Ivhed, I. and Nilsson, K. : Induction of differentiation of the human histiocytic lymphoma cell line, U-937 by 1,25-dihydroxyvitamin D<sub>3</sub>. *Cancer Res.*, **43**, 5862 (1983)
  13. Honma, Y., Hozumi, M., Abe, E., Konno, K. and Fukushima, M. : 1,25-dihydroxyvitamin D<sub>3</sub> and alpha-hydroxyvitamin D<sub>3</sub> prolong survival time of mice inoculated with myeloid leukemia cells. *Proc. Natl. Acad. Sci.*, **80**, 201 (1983)
  14. Eisman, J. A., Barkla, D. H. and Tutton, P. J. : Suppression of *in vivo* growth of human cancer solid tumor xenografts by 1 $\alpha$ ,25-dihydroxyvitamin-D<sub>3</sub>. *Cancer Res.*, **47**, 21 (1987)
  15. Sato, T., Takusagawa, K., Asoo, N. and Konno, K. : Antitumor effect of 1 $\alpha$ ,25-dihydroxyvitamin D<sub>3</sub>. *J. Exp. Med.*, **138**, 445 (1982)
  16. Bower, M., Colston, K. W., Stein, R. C., Heddy, A., Gazet, J. C., Ford, H. T. and Coombes, R. C. : Topical calcitriol treatment in advanced breast cancer. *Lancet*, **337**, 701 (1991)
  17. Mehta, A. B., Kumaran, T. D. and Marsh, G. W. : Treatment of advanced myelodysplastic syndrome with alfacaLCciferol. *Lancet*, **2**, 761 (1984)
  18. Richard, C., Mazo, E., Cuadrado, M. A. and Zubizarraga, A. : Treatment of myelodysplastic syndrome with 1,25-dihydroxyvitamin D<sub>3</sub>. *Am. J. Hemat.*, **23**, 175 (1986)
  19. Morimoto, K., Yoshikawa, Y., Kozuka, Y., Kitano, S., Imanaka, K., Fukuo, E. K. and Kumahara, Y. : An open study of vitamin D<sub>3</sub> treatment in psoriasis vulgaris. *Br. J. Derm.*, **115**, 421 (1986)
  20. Koizumi, T., Nakao, Y., Ishizuka, S., Oshida, J., Hara, N., Ikekawa, N. and Fijita, T. : Novel vitamin D<sub>3</sub> derivatives, 26-homeo- $\Delta^{22}$ -dehydro-1 $\alpha$ ,25(S)-dihydroxyvitamin D<sub>3</sub> and 26-homo- $\Delta^{22}$ -dehydro-1 $\alpha$ ,25(R)-dihydroxyvitamin D<sub>3</sub>. *Archs. Biochem. Biophys.*, **276**, 310 (1990)
  21. Tanaka, Y., Bush, K. K., Eguchi, T., Ikekawa, N., Taguchi, T., Kobayashi, Y. and Higgins, P. J. : Effects of 1,25-dihydroxyvitamin D<sub>3</sub> and its analog on butyrate-induced differentiation of HT-29 human colonic carcinoma cells and on the reversal of the differentiated phenotype. *Archs. Biochem. Biophys.*, **276**, 415 (1990)
  22. Brown, A. J., Finch, J. L., Lopez-Hilker, S., Dusso, A., Ritter, C., Pernalete, N. and Slatopolsky, E. : New active analogues of vitamin D with low calcemic activity. *Kidney Int. Suppl.*, **29**, 22 (1990)
  23. Munker, R., Norman, A. W. and Koeffler, H. P. : Vitamin D compounds : effect on clonal proliferation and differentiation of human myeloid cell. *J. Clin. Invest.*, **78**, 424 (1986)
  24. Sarkar, B. C. and Chauhan, U. P. S. : A multiple-wavelength selector for a continuous spectrophotometric column monitoring system. *Anal. Biochem.*, **20**, 155 (1967)
  25. Bhalla, A. K., Amento, E. P., Clemens, T. L., Holick, M. F. and Krane, S. M. : Specific high-affinity receptors for 1,25-dihydroxyvitamin D<sub>3</sub> in human peripheral blood mononuclear cells : presence in monocyte and induction in T lymphocyte following activation. *J. Clin. Endocrinol. Metab.*, **57**, 1308 (1983)
  26. Haddad, J. G. : Transport of vitamin D metabolites. *Clin. Orth. Rel. Res.*, **142**, 249 (1979)
  27. Haussler, M. R. : Vitamin D receptors : nature and function. *A. Rev. Nutr.*, **6**, 527 (1986)

(1994년 10월 27일 접수)